

# ОРИЕНТАЦИОННАЯ ДИНАМИКА ФЕРРОНЕМАТИЧЕСКОГО ЖИДКОГО КРИСТАЛЛА ВО ВРАЩАЮЩЕМСЯ МАГНИТНОМ ПОЛЕ

*А. Н. Бойчук, А. Н. Захлевных\*, Д. В. Макаров*

*Пермский государственный национальный исследовательский университет  
614990, Пермь, Россия*

Поступила в редакцию 1 апреля 2015 г.

В рамках континуальной теории исследовано поведение ориентационной структуры ферронематика в однородном врачающем магнитном поле. Получена нестационарная система уравнений, описывающая динамику ферронематика. Найдены зависимости углов поворота директора и намагниченности ферронематика от скорости вращения поля при различных значениях материальных параметров. Обнаружены два режима вращения ориентационной структуры ферронематика: синхронный и асинхронный. При синхронном режиме директор вращается с частотой магнитного поля и постоянной фазовой задержкой. Асинхронный режим характеризуется запаздыванием по фазе, зависящим от времени. Получена зависимость критической угловой скорости вращения магнитного поля, определяющей границу существования синхронного и асинхронного режимов, от напряженности магнитного поля.

DOI: 10.7868/S0044451015090187

странственное распределение частиц в ЖК-матрице.

## 1. ВВЕДЕНИЕ

Жидкие кристаллы (ЖК) представляют собой анизотропные мягкие материалы, обладающие спонтанным ориентационным порядком, поэтому они являются привлекательными средами для диспергирования коллоидных частиц различной природы (ферромагнитных, сегнетоэлектрических, углеродных нанотрубок и др.) [1]. Жидкокристаллическая матрица вызывает упорядочение внедренных в нее анизометрических частиц, что существенно меняет отклик композитной системы на внешние воздействия и открывает новые возможности использования ЖК-материалов в устройствах отображения информации и оптоэлектронике. Такие суспензии весьма чувствительны к внешним воздействиям и обладают необычными электрическими, магнитными и оптическими свойствами, отличающимися от свойств исходных компонент и меняющимися под действием внешних полей. Новые приложения таких материалов существенно зависят от способности контролировать ориентационный отклик и про-

Одним из примеров таких систем являются ферронематики — коллоидные суспензии магнитных наночастиц в нематических жидкокристаллах (НЖК). Они были теоретически предсказаны в работе [2], заложившей основы континуального описания ферронематиков. С этой пионерской работы стала очевидной широта приложений для ферронематиков, так как их магнитная восприимчивость на несколько порядков превышает восприимчивость чистых ЖК. Первые экспериментальные попытки синтеза ЖК-ферросуспензий оказались не вполне удачными, однако в последние десять лет в связи с разработкой новых методов стабилизации наночастиц в термотропных ЖК появились успешные экспериментальные реализации ферронематиков, которые привели к многочисленным экспериментальным и теоретическим работам по исследованию их физических свойств и индуцируемых внешними полями фазовых переходов (см. обзорную статью [1]). В настоящее время экспериментальный поиск осуществляется по двум направлениям [1, 3–7]: используются новые мезогенные соединения в качестве матрицы и новые типы частиц, внедренных в ЖК (игольчатые наночастицы феррита и углерод-

\*E-mail: anz@psu.ru

ные нанотрубки, наполненные ферромагнетиком). Такие суспензии могут использоваться для создания оптических элементов, реагирующих по типу ЖК-дисплея на магнитное поле, что позволит радикально упростить визуализацию полей и использовать эти среды для отображения информации.

Если статические свойства ферронематиков достаточно хорошо исследованы [3–16], то изучению их динамического поведения посвящено совсем немногого работ [17–22], касающихся, главным образом, релаксационных явлений и совместному ориентирующему действию магнитного поля и сдвигового потока.

В настоящей работе рассматривается влияние врачающегося магнитного поля на ориентационную структуру ферронематиков. В физике ЖК этот эффект — увлечение ЖК врачающимся магнитным полем, известный как эффект Цветкова, — достаточно хорошо изучен в различных геометриях [23], так же как и в физике изотропных магнитных жидкостей [24, 25].

## 2. УРАВНЕНИЯ ОРИЕНТАЦИОННОЙ ДИНАМИКИ

Для описания динамики ориентационной структуры ферронематического ЖК будем использовать обобщенную континуальную теорию Эриксена–Лесли [2, 9, 18]. В этом случае уравнение движения можно записать следующим образом:

$$\rho \frac{dv_i}{dt} = \partial_k \sigma_{ki}, \quad (1)$$

где  $\rho$  — плотность,  $v_i$  — скорость,  $d/dt = \partial/\partial t + v_k \partial_k$  — полная производная по времени,  $\sigma_{ki} = \sigma'_{ki} + \sigma^{(e)}_{ki}$  — тензор напряжений, являющийся суммой тензора вязких напряжений  $\sigma'_{ki}$  и тензора ориентационных напряжений Эриксена  $\sigma^{(e)}_{ki}$ . Здесь введено обозначение  $\partial_k \equiv \partial/\partial x_k$  и далее всюду предполагается суммирование по повторяющимся тензорным индексам.

Уравнение несжимаемости имеет вид

$$\partial_i v_i = A_{ii} = 0, \quad (2)$$

где  $A_{ik} = (\partial_k v_i + \partial_i v_k)/2$  — симметричная часть тензора градиентов скоростей.

Выражение для тензора вязких напряжений  $\sigma'_{ki}$  в предположении линейности обобщенных потоков по отношению к сопряженным им обобщенным силам может быть записано в следующем виде:

$$\begin{aligned} \sigma'_{ki} = & \alpha_1 n_k n_i n_l n_m A_{lm} + \alpha_2 n_k N_i + \alpha_3 n_i N_k + \\ & + \alpha_4 A_{ki} + \alpha_5 n_k n_l A_{li} + \alpha_6 n_i n_l A_{lk}. \end{aligned}$$

Здесь  $\mathbf{n}$  — директор НЖК, т. е. единичный вектор, характеризующий направление преимущественной ориентации длинных осей молекул нематика. Коэффициенты  $\alpha_s$  имеют размерность вязкости и носят название коэффициентов Лесли, однако только пять из них являются независимыми, так как между ними существует связь  $\alpha_2 + \alpha_3 = \alpha_6 - \alpha_5$  [23]. Вектор  $\mathbf{N}$  представляет собой скорость изменения директора  $\mathbf{n}$  относительно движущегося ЖК и определяется соотношением

$$N_i = \frac{dn_i}{dt} - \omega_{ik} n_k,$$

где  $\omega_{ik} = (\partial_k v_i - \partial_i v_k)/2$  — антисимметричная часть тензора градиентов скоростей.

Тензор напряжений Эриксена  $\sigma^{(e)}_{ki}$ , входящий в  $\sigma_{ki}$ , дается выражением

$$\sigma^{(e)}_{ki} = -p \delta_{ki} - \frac{\partial F}{\partial (\partial_k n_l)} \partial_i n_l,$$

где  $p$  — давление,  $\delta_{ki}$  — символ Кронекера,  $F$  — объемная плотность свободной энергии ферронематика, которую в случае мягкого сцепления между магнитными частицами и ЖК можно записать в виде [2, 9]

$$\begin{aligned} F = & F_1 + F_2 + F_3 + F_4 + F_5, \\ F_1 = & \frac{1}{2} [K_1 (\operatorname{div} \mathbf{n})^2 + K_2 (\mathbf{n} \cdot \operatorname{rot} \mathbf{n})^2 + \\ & + K_3 (\mathbf{n} \times \operatorname{rot} \mathbf{n})^2], \quad (3) \\ F_2 = & -M_s f \mathbf{m} \cdot \mathbf{H}, \quad F_3 = -\frac{1}{2} \chi_a (\mathbf{n} \cdot \mathbf{H})^2, \\ F_4 = & \frac{k_B T}{v_f} f \ln f, \quad F_5 = \frac{w}{d} f (\mathbf{n} \cdot \mathbf{m})^2. \end{aligned}$$

Здесь  $K_1$ ,  $K_2$  и  $K_3$  — модули ориентационной упругости ЖК (константы Франка),  $M_s$  — намагниченность насыщения материала магнитных частиц,  $f$  — объемная доля частиц в суспензии,  $\mathbf{m}$  — единичный вектор намагниченности суспензии,  $\chi_a$  — анизотропия диамагнитной восприимчивости нематика (далее мы полагаем, что  $\chi_a > 0$ , поэтому директор стремится ориентироваться вдоль поля  $\mathbf{H}$ ),  $v_f$  — объем феррочастицы,  $k_B$  — постоянная Больцмана,  $T$  — температура,  $w$  — поверхностная плотность энергии сцепления молекул ЖК с поверхностью магнитных частиц,  $d$  — диаметр феррочастицы. Мы полагаем  $w > 0$ , поэтому в отсутствие магнитного поля минимуму свободной энергии (3) отвечает взаимная ортогональная ориентация директора и намагниченности ( $\mathbf{n} \perp \mathbf{m}$ ), которую называют гомеотропным сцеплением магнитных частиц с ЖК-матрицей.

Слагаемое  $F_1$  представляет собой объемную плотность энергии ориентационно-упругих деформаций поля директора (потенциал Франка),  $F_2$  — объемная плотность энергии взаимодействия магнитного поля  $\mathbf{H}$  с магнитными моментами  $\boldsymbol{\mu} = M_s v_f \mathbf{m}$  феррочастиц (дипольный механизм влияния магнитного поля на ферронематики),  $F_3$  — объемная плотность энергии взаимодействия магнитного поля  $\mathbf{H}$  с нематической матрицей (квадрупольный механизм влияния магнитного поля),  $F_4$  — вклад энтропии смешения идеального раствора магнитных частиц в объемную плотность энергии,  $F_5$  — объемная плотность энергии ориентационного взаимодействия магнитных частиц с директором. Магнитными диполь-дипольными взаимодействиями будем пренебречь вследствие малой объемной доли феррочастиц в суспензии.

Уравнение движения директора  $\mathbf{n}$  имеет вид [23]

$$h_i^{(n)} = \gamma_1 N_i + \gamma_2 n_k A_{ik}, \quad (4)$$

где  $\gamma_1 = \alpha_3 - \alpha_2$  и  $\gamma_2 = \alpha_2 + \alpha_3$  — коэффициенты вращательной вязкости нематика.

Уравнение движения единичного вектора намагниченности  $\mathbf{m}$  согласно [18] записывается в виде

$$h_i^{(m)} = (\gamma_{1p} M_i + \gamma_{2p} m_k A_{ki}) f, \quad (5)$$

где  $\gamma_{1p}$  и  $\gamma_{2p}$  — коэффициенты вращательной вязкости магнитных частиц, а вектор  $M_i = dm_i/dt - \omega_{ik} m_k$  характеризует скорость изменения единичного вектора намагниченности  $\mathbf{m}$  относительно движущегося ЖК.

Молекулярные поля  $h_i^{(n)}$  и  $h_i^{(m)}$ , входящие в уравнения движения директора (4) и намагниченности (5), определены следующим образом:

$$h_i^{(n)} = -\frac{\partial F}{\partial n_i} + \partial_k \frac{\partial F}{\partial (\partial_k n_i)},$$

$$h_i^{(m)} = -\frac{\partial F}{\partial m_i} + \partial_k \frac{\partial F}{\partial (\partial_k m_i)}.$$

Вследствие единичности векторов  $\mathbf{n}$  и  $\mathbf{m}$  вариация свободной энергии должна проводиться при дополнительных условиях  $\mathbf{n}^2 = 1$  и  $\mathbf{m}^2 = 1$ , учитываемых методом множителей Лагранжа.

Замыкает систему уравнение диффузии магнитных частиц в ЖК-матрице (закон сохранения числа магнитных частиц) [18]:

$$\frac{\partial f}{\partial t} + \partial_i (U_i f) = 0, \quad (6)$$

где  $U_i = -D \partial_i (v_f F^{(m)}/f)$  — скорость феррочастиц относительно ЖК-матрицы,  $D$  — коэффициент переноса,  $F^{(m)} = F_2 + F_4 + F_5$  — вклад магнитных частиц в свободную энергию  $F$  ферронематика (3).

Таким образом, уравнения (1)–(6) представляют собой полную систему уравнений динамики ферронематика.

### 3. ФЕРРОНЕМАТИК ВО ВРАЩАЮЩЕМСЯ МАГНИТНОМ ПОЛЕ

Пусть ферронематический ЖК находится в однородном магнитном поле  $\mathbf{H} = H(-\sin \omega t, \cos \omega t, 0)$ , вращающемся с постоянной угловой скоростью  $\omega$  вокруг оси  $z$  (рис. 1). Рассматривая поведение директора и намагниченности вдали от поверхностей, ограничивающих образец ферронематика, будем пренебречь влиянием границ и градиентами директора. В этом случае распределение магнитных частиц в образце можно считать однородным, т. е. эффекты магнитной сегрегации отсутствуют. Будем полагать, что ферронематик имеет положительную плотность энергии сцепления  $w$ , так что в отсутствие внешних полей минимум свободной энергии (3) достигается при ортогональной ориентации директора и намагниченности ( $\mathbf{n} \perp \mathbf{m}$ ), которую называют гомеотропным сцеплением. По этой причине углы поворота директора  $\varphi(t)$  и намагниченности  $\psi(t)$  удобно отсчитывать от взаимно перпендикулярных осей (рис. 1a):

$$\begin{aligned} \mathbf{n} &= (\cos \varphi(t), \sin \varphi(t), 0), \\ \mathbf{m} &= (-\sin \psi(t), \cos \psi(t), 0). \end{aligned} \quad (7)$$

В рассматриваемом случае  $\chi_a > 0$  в магнитном поле директор  $\mathbf{n}$  и намагниченность  $\mathbf{m}$  будут стремиться

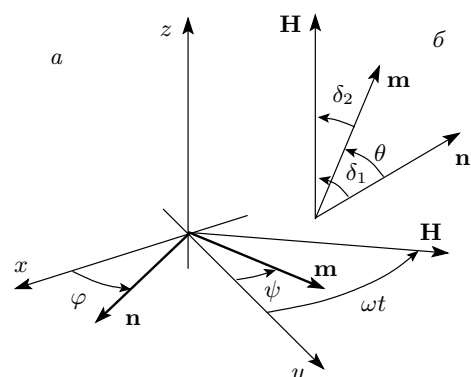


Рис. 1. Ферронематик во вращающемся магнитном поле

ориентироваться вдоль поля, чему препятствует гомеотропное сцепление магнитных частиц с ЖК-матрицей, приводя к конкуренции между квадрупольным и дипольным механизмами воздействия магнитного поля на ферронематик.

Будем считать, что меняется со временем могут только директор и намагниченность, при этом сам ферронематик остается неподвижным, т. е. скорость  $v$  ЖК-сuspензии равна нулю. Для рассматриваемого вида решений (7) уравнения движения ферронематика (1) выполняются тождественно. Уравнения движения директора (4) и единичного вектора намагниченности (5) с учетом соотношений (7) примут вид

$$\begin{aligned} \gamma_1 \frac{\partial \varphi}{\partial t} &= -\frac{w}{d} f \sin 2(\varphi - \psi) - \frac{1}{2} \chi_a H^2 \sin 2(\omega t - \varphi), \\ \gamma_{1p} \frac{\partial \psi}{\partial t} &= \frac{w}{d} \sin 2(\varphi - \psi) + M_s H \sin(\omega t - \psi). \end{aligned} \quad (8)$$

В случае отсутствия магнитной примеси ( $f = 0$ ) из системы (8) получаем, как и должно быть, уравнение для угла поворота директора в чистом нематике, помещенном во вращающееся магнитное поле [23]:

$$\gamma_1 \frac{\partial \varphi}{\partial t} = -\frac{1}{2} \chi_a H^2 \sin 2(\omega t - \varphi).$$

Анализ решений этого уравнения показывает [23], что при угловой скорости вращения поля  $\omega \leq \omega_c \equiv \chi_a H^2 / 2\gamma_1$  директор следует за полем с той же угловой скоростью  $\omega$ , но отстает от него по фазе на постоянное значение (синхронный режим вращения). Если скорость вращения поля  $\omega > \omega_c$ , то директор движется вслед за магнитным полем с более сложной, зависящей от времени, фазовой задержкой (асинхронный режим).

Для удобства теоретического анализа запишем систему уравнений (8) в безразмерном виде. Для этого в качестве единицы измерения напряженности поля выберем величину  $H_0 = M_s f / \chi_a$ , при которой дипольный  $F_2$  и квадрупольный  $F_3$  вклады в объемную плотность свободной энергии  $F$  ферронематика (1) становятся одного порядка [10]. В магнитном поле  $H \approx H_0$  происходит смена основного механизма влияния поля на систему от дипольного (влияние на магнитные моменты частиц,  $H \leq H_0$ ) к квадрупольному (влияние на диамагнитную НЖК-матрицу,  $H > H_0$ ) и наоборот. Кроме того, в терминах угла  $\tau = \omega t$ , описывающего отклонение вектора напряженности поля  $\mathbf{H}$  от оси  $y$ , система уравнений (8) может быть записана следующим образом:

$$\beta \dot{\varphi} = -\sigma \sin 2(\varphi - \psi) - \frac{1}{2} h^2 \sin 2(\tau - \varphi), \quad (9)$$

$$f \gamma \beta \dot{\psi} = \sigma \sin 2(\varphi - \psi) + h \sin(\tau - \psi). \quad (10)$$

Здесь точкой обозначена производная по  $\tau$  и введены безразмерные величины

$$\begin{aligned} h &= \frac{H}{H_0}, \quad \beta = \frac{\chi_a \gamma_1}{M_s^2 f^2} \omega, \\ \sigma &= \frac{w \chi_a}{M_s^2 f d}, \quad \gamma = \frac{\gamma_{1p}}{\gamma_1}, \end{aligned} \quad (11)$$

где  $h$  представляет собой безразмерную напряженность магнитного поля,  $\beta$  — безразмерная угловая скорость вращения магнитного поля,  $\sigma$  — безразмерная энергия сцепления магнитных частиц с ЖК-матрицей, а параметр  $\gamma$  характеризует отношение коэффициентов вращательной вязкости магнитных частиц и нематика.

Полагая согласно [1–3, 16, 18] анизотропию диамагнитной восприимчивости  $\chi_a \approx 10^{-7}$ , объемную долю магнитных частиц  $f \approx 10^{-6}$ , намагниченность насыщения материала магнитных частиц  $M_s \approx \approx 10^2$  Гс, коэффициенты вращательной вязкости  $\gamma_1 \approx 0.1$  П и  $\gamma_{1p} \approx 1$  П, поверхностную плотность энергии сцепления молекул нематика с магнитными частицами  $w \approx 1$  эрг/см<sup>2</sup>, поперечный диаметр магнитных частиц  $d \approx 10^{-5}$  см, угловую скорость вращения магнитного поля  $\omega = 1$  рад/с, находим  $\gamma \approx 10$ ,  $\sigma \approx 1$  и  $\beta \approx 1$ . Из этих оценок видно, что  $f \gamma \beta \ll 1$ , поэтому можно пренебречь слагаемым  $f \gamma \beta$  в левой части уравнения (10). Тогда система (9), (10) примет следующий вид:

$$\begin{aligned} \beta \dot{\varphi} &= -\sigma \sin 2(\varphi - \psi) - \frac{1}{2} h^2 \sin 2(\tau - \varphi), \\ h \sin(\tau - \psi) &= -\sigma \sin 2(\varphi - \psi). \end{aligned} \quad (12)$$

Эти уравнения описывают динамику углов ориентации директора и намагниченности в зависимости от энергии сцепления  $\sigma$ , напряженности поля  $h$  и угловой скорости вращения  $\beta$  магнитного поля.

Для анализа ориентаций директора  $\mathbf{n}$  и намагниченности  $\mathbf{m}$  относительно магнитного поля  $\mathbf{H}$  удобно перейти во вращающуюся систему координат и ввести новые переменные (рис. 1б):

$$\delta_1 = \tau - \varphi + \frac{\pi}{2}, \quad \delta_2 = \tau - \psi, \quad \theta = \delta_1 - \delta_2. \quad (13)$$

Здесь  $\delta_1$  и  $\delta_2$  — углы, характеризующие запаздывание директора и намагниченности относительно вектора напряженности магнитного поля,  $\theta$  — угол между директором и единичным вектором намагниченности.

С учетом соотношений (13) система уравнений (12) принимает вид

$$\begin{aligned}\beta(1 - \dot{\delta}_1) &= -\sigma \sin 2(\delta_1 - \delta_2) + \frac{1}{2} h^2 \sin 2\delta_1, \\ h \sin \delta_2 &= -\sigma \sin 2(\delta_1 - \delta_2).\end{aligned}\quad (14)$$

### 3.1. Стационарные уравнения динамики ферронематика

В стационарном случае ( $\dot{\phi} = 1$ , т. е.  $\dot{\delta}_1 = 0$ ) директор и намагниченность вращаются с постоянной угловой скоростью  $\beta$  вслед за магнитным полем, поэтому система уравнений (14) принимает вид

$$\begin{aligned}\beta &= -\delta \sin 2(\delta_1 - \delta_2) + \frac{1}{2} h^2 \sin 2\delta_1, \\ h \sin \delta_2 &= -\sigma \sin 2(\delta_1 - \delta_2).\end{aligned}\quad (15)$$

В отсутствие вращения ( $\beta = 0$ ) с ростом приложенного поля в ферронематике последовательно возникают, сменяя друг друга пороговым образом, три ориентационные фазы: гомеотропная, угловая и планарная [10]. Каждая фаза отвечает своему типу взаимной ориентации директора и намагниченности. Углы отклонения директора и намагниченности от направления магнитного поля в этих ориентационных фазах как функции напряженности поля показаны на рис. 2 сплошными линиями. В слабых магнитных полях единичный вектор намагниченности ориентирован параллельно полю ( $\mathbf{m} \parallel \mathbf{H}$ ) и ортогонален директору ( $\mathbf{n} \perp \mathbf{m}$ ). Такая взаимно ортогональная ориентация директора и намагниченности соответствует гомеотропной фазе ферронематика, в которой  $\theta = \delta_1 = \pi/2$ ,  $\delta_2 = 0$ . Эта фаза устойчива в полях  $h \leq h_{\perp}$  [10], где  $h_{\perp} = -\sigma + \sqrt{\sigma^2 + 2\sigma}$ .

С ростом напряженности поля гомеотропная фаза сменяется при  $h = h_{\perp}$  угловой фазой, в которой угол  $\theta$  между директором и намагниченностью отличен от нуля и  $\pi/2$  и уменьшается с ростом поля. Угловая фаза термодинамически устойчива при  $h_{\perp} \leq h \leq h_{\parallel}$  [10], где  $h_{\parallel} = \sigma + \sqrt{\sigma^2 + 2\sigma}$ .

Поскольку в статическом случае ( $\beta = 0$ ) задача симметрична по отношению к повороту плоскости, образуемой директором и намагниченностью, на произвольный угол вокруг вектора напряженности поля, в каждой такой плоскости возможны два симметричных решения (сплошные линии на рис. 2) для углов отклонения директора и намагниченности от направления поля. Два состояния ферронематика, описываемые этими решениями, энергетически эквивалентны. Рост напряженности поля приводит к переходу системы в планарную фазу при  $h \geq h_{\parallel}$ .

В ней директор и намагниченность ориентированы вдоль поля ( $\mathbf{n} \parallel \mathbf{m} \parallel \mathbf{H}$ ). Переходы между всеми ориентационными фазами происходят пороговым образом при  $h = h_{\perp}$  и  $h = h_{\parallel}$  по типу фазовых переходов второго рода [10].

В случае вращающегося магнитного поля ( $\beta \neq 0$ ) система уравнений (15) имеет решения, соответствующие только угловой ориентационной фазе (рис. 2, штриховые линии). Вращение поля по часовой стрелке ( $\beta > 0$ ) снимает вырождение ориентационных состояний в угловой фазе (рис. 2), характерные для статического магнитного поля ( $\beta = 0$ ), приводя к отсутствию инвариантности уравнений (15) по отношению к одновременному отражению директора и намагниченности относительно направления поля. С увеличением скорости вращения  $\beta$  магнитного поля пороговые переходы размываются все интенсивнее. Кроме того, стационарные состояния ориентационной структуры ферронематика оказываются возможными не при любых значениях скорости вращения и напряженности магнитного поля: в заштрихованных областях на рис. 2 и 3 система уравнений (15) не имеет решений. При этих параметрах углы отклонения директора и намагниченности сложным образом зависят от времени, и их поведение описывается нестационарной системой уравнений (14). Отметим также, что решения системы (15) при  $\beta < 0$ , соответствующие вращению поля против часовой стрелки, зеркально-симметричны решениям, изображенным на рис. 2, относительно  $\pi/2$  и 0 соответственно для углов  $\delta_1$  и  $\delta_2$ .

### 3.2. Устойчивость стационарных решений

Исследуем устойчивость стационарных решений системы уравнений (15), изображенных на рис. 2. Для этого определим эффективную плотность свободной энергии  $\Phi$  [26], минимизацией которой по углам  $\delta_1$  и  $\delta_2$  можно получить уравнения (15), описывающие ориентационную структуру ферронематика в стационарном случае. С учетом выражения (5) и соотношений (7) и (14) в безразмерном виде она может быть представлена следующим образом:

$$\Phi = -h \cos \delta_2 - \frac{1}{2} h^2 \cos^2 \delta_1 + \sigma \cos^2(\delta_1 - \delta_2) - \beta \delta_1. \quad (16)$$

Устойчивые решения, отвечающие минимуму эффективной свободной энергии (16), для углов ориентации директора и намагниченности показаны на рис. 3 сплошными линиями, неустойчивые решения — штриховыми линиями.

В слабом магнитном поле в отсутствие вращения ( $\beta = 0$ ) устойчива гомеотропная ферронемати-

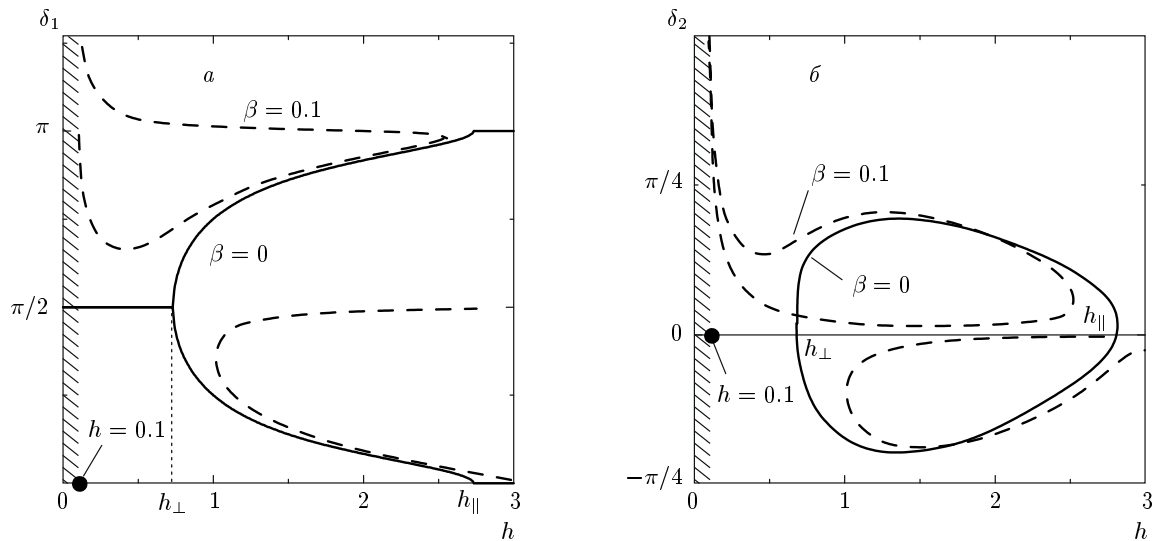


Рис. 2. Углы ориентации директора (а) и вектора намагниченности (б) как функции напряженности магнитного поля  $h$  для энергии сцепления  $\sigma = 1$  и различных значений угловой скорости вращения  $\beta > 0$

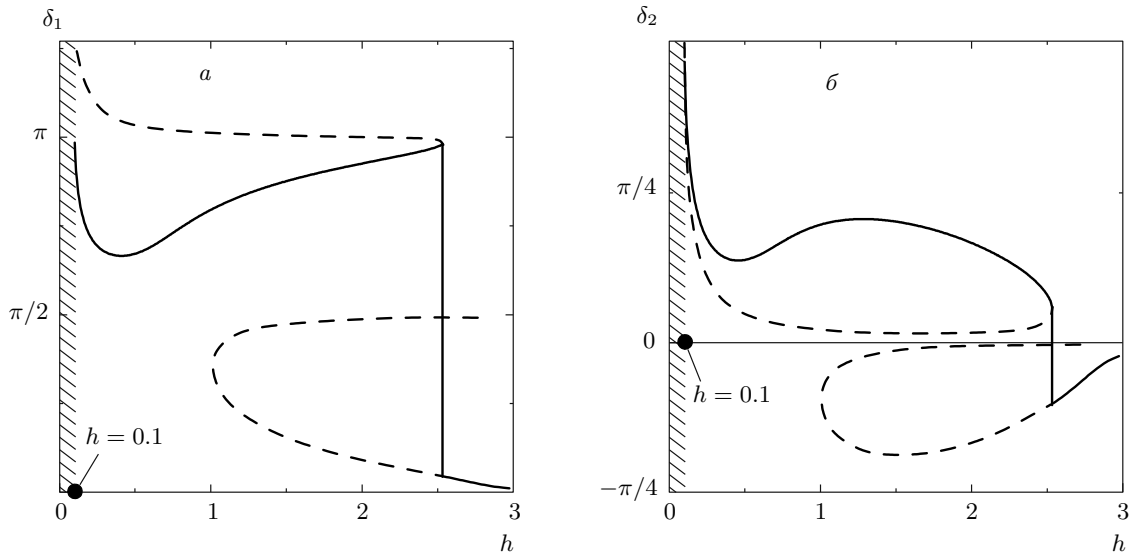


Рис. 3. Углы ориентации директора (а) и намагниченности (б) как функции напряженности магнитного поля  $h$  для энергии сцепления  $\sigma = 1$  и угловой скорости вращения  $\beta = 0.1$  (сплошными линиями показаны устойчивые решения)

ческая фаза с взаимно ортогональной ориентацией директора и намагниченности ( $\mathbf{n} \perp \mathbf{m}$ ), в которой вектор намагниченности параллелен магнитному полю ( $\mathbf{m} \parallel \mathbf{H}$ ). Вращение поля ( $\beta \neq 0$ ) приводит к исчезновению решений, описывающих стационарное состояние ферронематика (рис. 3, заштрихованная область). Однако с ростом напряженности поля такие решения появляются. Они описывают директор и намагниченность, врачающиеся с постоянной уг-

ловой скоростью  $\beta$  вслед за вектором  $\mathbf{H}$ , причем намагниченность отстает от  $\mathbf{H}$  по фазе. Увеличение напряженности поля приводит к тому, что ориентации директора и намагниченности меняются скачком (вертикальные отрезки на рис. 3), так что намагниченность начинает опережать напряженность поля, по-прежнему вращаясь с постоянной угловой скоростью  $\beta$ .

В сильном магнитном поле ( $h \gg 1$ ) отклонения

директора  $\delta_1$  и намагниченности  $\delta_2$  от направления поля малы, поэтому в низшем порядке из системы (15) находим

$$\delta_1 = \frac{\beta}{h^2}, \quad \delta_2 = -\frac{2\sigma\beta}{h^3}. \quad (17)$$

Как видно из соотношений (17), с ростом напряженности магнитного поля директор **n** и намагниченность **m** асимптотически стремятся к направлению поля **H**, что подтверждается численным решением стационарных уравнений (15) ферронематика (рис. 3, сплошные линии).

В слабых магнитных полях ( $\beta \leq h \ll 1$ ) можно пренебречь квадратичным по полю слагаемым в первом уравнении системы (15), тогда для углов  $\delta_1$  и  $\delta_2$ , определяющих отклонения директора и намагниченности от направления вращающегося магнитного поля, находим

$$\begin{aligned} \sin 2\delta_1 &= \frac{\beta}{\sigma h^2} \times \\ &\times [2\beta^2 - h^2 \pm 2\sqrt{(h^2 - \beta^2)(\sigma^2 - \beta^2)}], \quad (18) \\ \sin \delta_2 &= \frac{\beta}{h}. \end{aligned}$$

Из выражений (17), (18) видно, что при малых скоростях вращения магнитного поля стационарные состояния ориентационной структуры ферронематика существуют при  $\beta \leq h \ll 1$  не при любых значениях энергии сцепления директора и намагниченности ( $\sigma \geq \beta$ ). Это подтверждается численным решением системы (15): из рис. 2 и 3 видно, что имеется критическое значение скорости вращения поля, при превышении которого стационарные решения исчезают, т. е. ориентационная структура ферронематика ведет себя нестационарным образом и описывается системой уравнений (14).

### 3.3. Синхронный и асинхронный режимы вращения ферронематика

Анализ решений нестационарной системы уравнений (14) показывает, что возможны два режима вращения ориентационной структуры ферронематика во вращающемся магнитном поле: синхронный и асинхронный. В первом случае директор и намагниченность вращаются вслед за магнитным полем с одинаковой угловой скоростью, во втором — по-прежнему следуют за магнитным полем, но с фазовыми задержками, зависящими от времени. Границу синхронного и асинхронного режимов вращения можно определить, анализируя фазовый портрет системы (14), который представлен на рис. 4 при

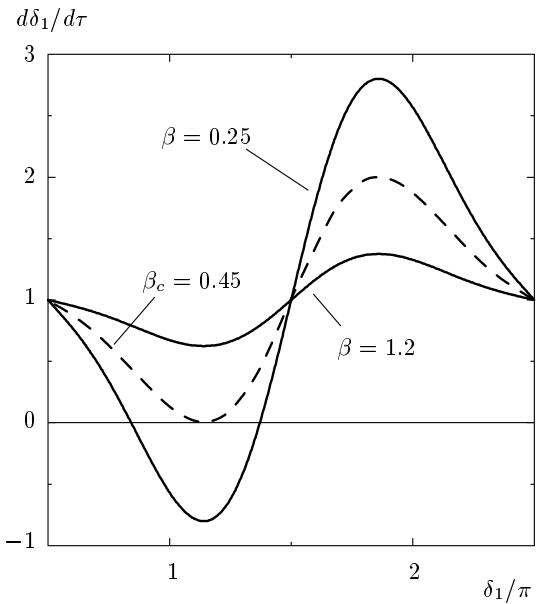


Рис. 4. Фазовый портрет системы уравнений (14) при  $\sigma = 1, h = 0.4$

различных значениях угловой скорости вращения  $\beta$  магнитного поля.

Видно, что с ростом скорости вращения  $\beta$  амплитуда  $d\delta_1/d\tau$  уменьшается, и при некотором критическом значении  $\beta_c$  исчезают точки пересечения фазовой траектории с осью абсцисс. При  $\beta = \beta_c$  ось абсцисс является касательной к точкам минимума фазовой траектории, что позволяет записать условия нахождения критической скорости. Одно из них отвечает равенству нулю производной  $d\delta_1/d\tau$ :

$$\sigma \sin 2(\delta_1 - \delta_2) - \frac{1}{2}h^2 \sin 2\delta_1 + \beta_c = 0. \quad (19)$$

Другое условие вытекает из того, что точки, в которых фазовая траектория касается оси абсцисс, являются точками минимума функции  $d\delta_1/d\tau$ :

$$\begin{aligned} \sigma \cos 2(\delta_1 - \delta_2) \left( 1 + \frac{h \cos 2\delta_1}{\cos \delta_2} \right) - \\ - \frac{1}{2}h^2 \cos 2\delta_1 = 0. \quad (20) \end{aligned}$$

Решение уравнений (19) и (20) совместно с уравнением связи (14) позволяет найти зависимость  $\beta_c = \beta_c(h, \sigma)$ , определяющую границу между синхронным и асинхронным режимами вращения ферронематика. В отсутствие сцепления магнитных частиц с нематической матрицей ( $\sigma = 0$ ) из системы уравнений (14), (19) и (20) получим, что критическая угловая скорость пропорциональна квадрату напряженности поля:

$$\beta_c^{LC} = \frac{h^2}{2}, \quad (21)$$

что совпадает с критической скоростью вращения магнитного поля для чистого ЖК без магнитных частиц [23].

Для слабого сцепления ( $\sigma \ll 1$ ) частиц с матрицей из системы уравнений (14), (19) и (20) критическую угловую скорость удается получить аналитически в виде поправки к выражению (21):

$$\beta_c = \frac{h^2}{2} - \sigma. \quad (22)$$

Для произвольной энергии сцепления в случае слабых магнитных полей ( $h \ll 1$ ), пренебрегая квадратичными по полю слагаемыми (т. е. квадрупольным механизмом воздействия на ферронематик) в уравнениях (19) и (20), для критической скорости получаем линейную зависимость от поля:

$$\beta_c = h. \quad (23)$$

Для произвольных значений напряженности магнитного поля в случае жесткого сцепления ( $\sigma \rightarrow \infty$ ) критическая угловая скорость вращения находится аналитически из системы уравнений (14), (19) и (20):

$$\beta_c^\infty = \frac{1}{16} \left( \sqrt{1+8h^2} - 1 \right)^{1/2} \left( \sqrt{1+8h^2} + 3 \right)^{3/2}. \quad (24)$$

В слабых магнитных полях ( $h \ll 1$ ) это выражение упрощается:  $\beta_c^\infty = h + h^3/2 + \dots$ . В противоположном случае сильных магнитных полей ( $h \gg 1$ ) из соотношения (24) имеем  $\beta_c^\infty = h^2/2 + h/\sqrt{2} \dots$ . Переходя к размерным переменным в соотношении (24) и устремив концентрацию магнитной примеси к нулю, в главном слагаемом полученной асимптотики получаем квадратичную зависимость критической частоты от напряженности магнитного поля,  $\omega_c^{LC} \approx \approx \chi_a H^2 / 2\gamma_1$ , как и должно быть в чистом нематике, помещенном во вращающееся магнитное поле [23].

В общем случае для ферронематика с гомеотропным сцеплением между магнитными частицами и ЖК-матрицей зависимость критической угловой скорости от поля и энергии сцепления  $\beta_c = \beta_c(h, \sigma)$  значительно усложняется. На рис. 5 представлена критическая угловая скорость  $\beta_c$  как функция напряженности магнитного поля  $h$  для различных значений энергии сцепления  $\sigma$ , полученная численным решением системы уравнений (14), (19) и (20). Области под кривыми на рис. 5 отвечают синхронному режиму вращения ориентационной структуры ферронематика, над кривыми — асинхронному режиму вращения.

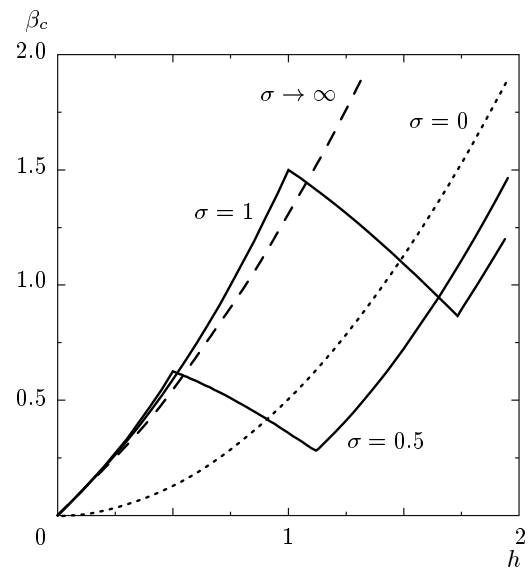
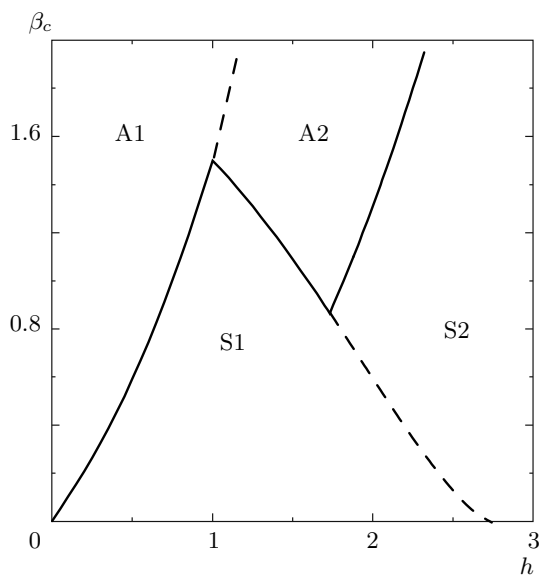


Рис. 5. Зависимость критической угловой скорости  $\beta_c$  от напряженности магнитного поля  $h$  для нематика ( $\sigma = 0$ ) и ферронематика ( $\sigma \neq 0$ )

В слабых полях основным механизмом влияния магнитного поля на ферронематик является дипольный механизм, т. е. воздействие поля на магнитные частицы. Из рис. 5 видно, что при  $h \ll 1$  критическая скорость вращения  $\beta_c$  супензии больше (рис. 5,  $\sigma \neq 0$ ), чем в чистом ЖК,  $\beta_c^{LC}$  (рис. 5, штриховая кривая  $\sigma = 0$ ). Это подтверждается аналитически формулой (23), которая дает линейную зависимость критической скорости вращения ферронематика от магнитного поля, в то время как в чистом нематике [23] эта скорость квадратична по полю (21).

В сильных магнитных полях главным становится квадрупольный механизм влияния магнитного поля на ферронематик (воздействие поля на нематическую матрицу), который, напротив, приводит к уменьшению критической скорости вращения  $\beta_c$  при конечных энергиях сцепления. При  $h \gg 1$  критическая скорость вращения  $\beta_c$  супензии (рис. 5, сплошные кривые) меньше, чем в чистом ЖК,  $\beta_c^{LC}$  (рис. 5, штриховая кривая  $\sigma = 0$ ). Для случая слабого сцепления между магнитными частицами и ЖК-матрицей такая зависимость подтверждается аналитическим выражением (22). Переходная область на карте режимов (рис. 5) связана с конкуренцией между дипольными и квадрупольными механизмами влияния магнитного поля на ферронематик в области конечных полей и, как следствие, с изменением типа сцепления между магнитными частицами и ЖК-матрицей от гомеотропного к планарному.



**Рис. 6.** Фазовая диаграмма режимов вращения ферронематика для энергии сцепления  $\sigma = 1$ . Сплошной линией показана граница между синхронными и асинхронными режимами вращения; штриховая линия отделяет различные виды синхронных ( $S_1$  и  $S_2$ ) и асинхронных ( $A_1$  и  $A_2$ ) режимов вращения ферронематика

Анализ системы уравнений (14) показывает, что она допускает более сложные фазовые траектории, чем изображенные на рис. 4. Оказывается, что с увеличением напряженности поля появляется дополнительный минимум (в расчете на один период), который при некотором значении поля опускается ниже горизонтальной оси. Появляющиеся при этом новые решения системы уравнений (14), (19) и (20) для  $\sigma = 1$  представлены на рис. 6. Сплошной линией показана граница между синхронными ( $S_1$  и  $S_2$ ) и асинхронными ( $A_1$  и  $A_2$ ) режимами вращения, а штриховой линией — границы между различными типами этих режимов.

Точки пересечения линий, определяющих границы режимов, с горизонтальной осью на фазовой диаграмме (рис. 6) могут быть найдены аналитически. Полагая  $\beta_c = \delta_2 = 0$ , из системы уравнений (19) и (20) совместно с уравнением связи (14) получаем уравнение

$$h^2 - 2\sigma(1 \pm h) = 0,$$

откуда для положительных значений напряженности поля находим выражения

$$h_{\perp} = \sigma \left( -1 + \sqrt{1+2/\sigma} \right), \quad h_{\parallel} = \sigma \left( 1 + \sqrt{1+2/\sigma} \right),$$

совпадающие с пороговыми полями перехода ферронематика из гомеотропной ориентационной фазы в угловую ( $h_{\perp}$ ) и из угловой фазы в планарную ( $h_{\parallel}$ ) [10].

Результаты численного решения системы нестационарных уравнений (14), описывающих различные типы синхронных  $S_1$  и  $S_2$  (рис. 6) и асинхронных  $A_1$  и  $A_2$  (рис. 6) режимов, представлены на рис. 7. В слабых магнитных полях при вращении поля с угловой скоростью  $\beta \leq \beta_c$  директор и намагниченность вращаются вслед за ним с одинаковой угловой скоростью, но с разной, не зависящей от времени, фазовой задержкой (рис. 7a), что соответствует синхронному режиму (область  $S_1$  на фазовой диаграмме рис. 6). При  $\beta > \beta_c$  синхронный режим вращения становится неустойчивым и сменяется асинхронным (область  $A_1$  на фазовой диаграмме рис. 6). В этом случае директор и намагниченность по-прежнему следуют за магнитным полем, но с периодически меняющейся фазовой задержкой (рис. 7б).

Увеличение напряженности поля приводит к изменению видов синхронного и асинхронного режимов вращения ферронематика (области  $S_2$  и  $A_2$  на рис. 6). В синхронном режиме, соответствующем области  $S_2$  на фазовой диаграмме рис. 6, директор и намагниченность, как и прежде, вращаются с одинаковой угловой скоростью  $\beta$  вместе с магнитным полем, но теперь намагниченность опережает магнитное поле (рис. 7в). В асинхронном режиме (область  $A_2$  на фазовой диаграмме рис. 6) намагниченность совершает периодические колебания около вектора напряженности магнитного поля (рис. 7г).

### 3.4. Влияние скорости вращения магнитного поля на ориентационные состояния

Увеличение скорости вращения поля  $\beta$  при фиксированных значениях энергии сцепления и напряженности поля в синхронном режиме  $S_1$  приводит к увеличению значений углов  $\delta_1$  и  $\delta_2$ , характеризующих отставания директора и намагниченности от напряженности поля. В синхронном режиме  $S_2$  намагниченность опережает магнитное поле на больший угол. Для обоих синхронных режимов с ростом  $\beta$  растет угол  $\theta$  между директором и намагниченностью и увеличивается характерное время установления синхронных режимов.

В обоих асинхронных режимах (рис. 8) с увеличением угловой скорости вращения  $\beta$  периоды вращения директора и намагниченности уменьшаются. В асинхронном режиме  $A_1$  (рис. 8а, б) зависимости

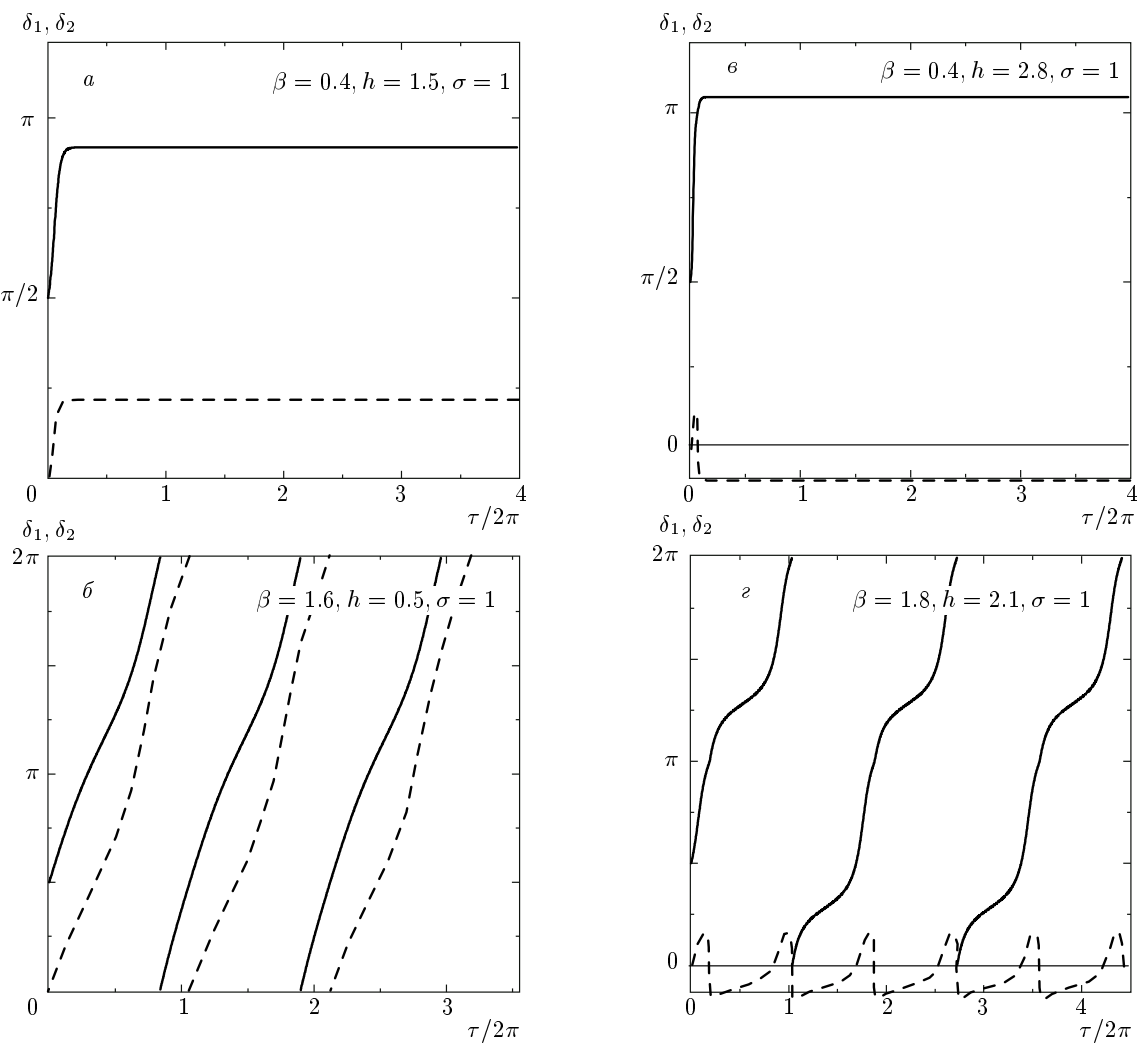


Рис. 7. Углы отклонения директора  $\delta_1$  (сплошные кривые) и намагниченности  $\delta_2$  (штриховые) от вектора напряженности магнитного поля: *а* — синхронный S1; *б* — асинхронный A1; *в* — синхронный S2; *г* — асинхронный A2 режимы вращения ферронематика

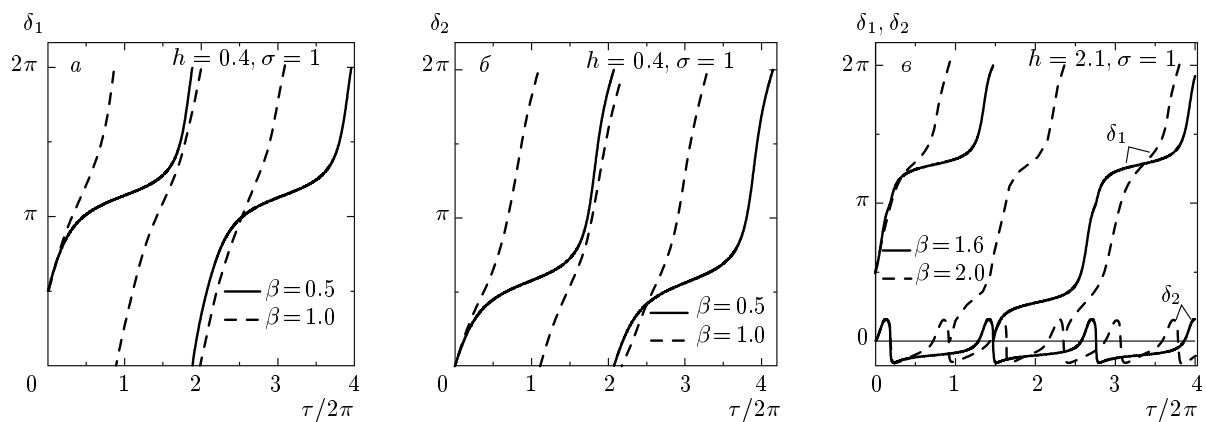


Рис. 8. Углы поворота директора  $\delta_1$  и намагниченности  $\delta_2$  при различных значениях угловой скорости вращения  $\beta$  в асинхронных режимах вращения ферронематика: *а, б* — режим A1; *в* — режим A2

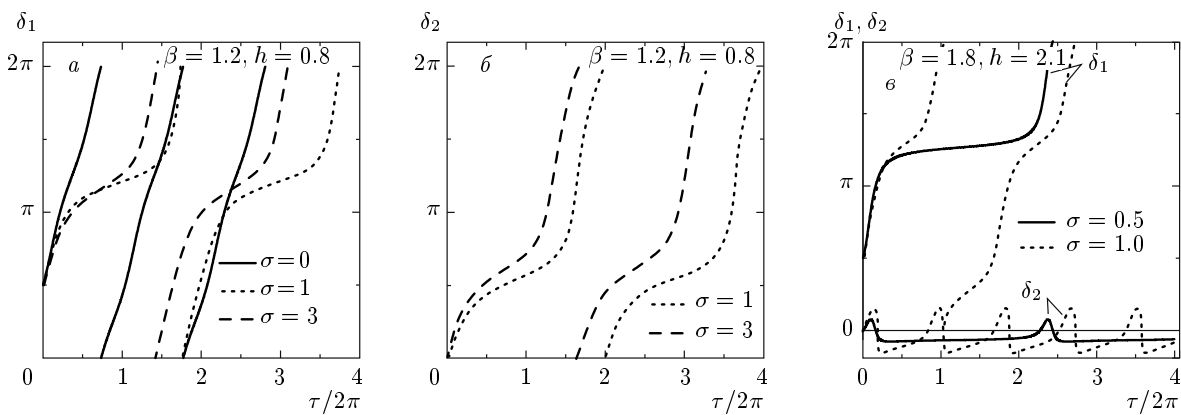


Рис. 9. Углы поворота директора  $\delta_1$  и намагниченности  $\delta_2$  при различных значениях энергии сцепления  $\sigma$  в асинхронных режимах вращения ферронематика:  $a, b$  — режим А1;  $c$  — режим А2

углов  $\delta_1$  и  $\delta_2$  от времени становятся близкими к линейным. В асинхронном режиме А2 (рис. 8 $c$ ) уменьшается период колебаний намагниченности около напряженности поля, но амплитуда колебаний при этом не изменяется.

### 3.5. Влияние энергии сцепления на ориентационные состояния ферронематика

В синхронном режиме S1 при увеличении энергии сцепления  $\sigma$  угол поворота директора  $\delta_1$  уменьшается, а угол отклонения намагниченности  $\delta_2$  увеличивается. В синхронном режиме вращения S2 с ростом  $\sigma$  увеличивается отставание директора от напряженности магнитного поля, при этом угол  $\theta$  между директором и намагниченностью увеличивается. Дальнейшее увеличение энергии сцепления  $\sigma$  приводит к тому, что режим S2 переходит в режим S1.

В асинхронном режиме вращения А1 период вращения директора в ферронематике (штриховые линии на рис. 9 $a, b$ ) превышает период вращения директора в чистом нематике (сплошные линии на рис. 9 $a$ ), т. е. при одной и той же скорости вращения  $\beta$  магнитного поля директор в ферронематике вращается медленнее директора нематика. С увеличением энергии сцепления  $\sigma$  период вращения директора и намагниченности в ферронематике уменьшается, всегда оставаясь больше, чем в нематике без магнитной примеси.

В асинхронном режиме вращения А2 единичный вектор намагниченности  $\mathbf{m}$  совершает периодические колебания около напряженности  $\mathbf{H}$ , увеличение  $\sigma$  приводит к уменьшению периода и росту амплитуды этих колебаний (рис. 9 $c$ ).

### 4. ЗАКЛЮЧЕНИЕ

В работе теоретически исследована ориентационная структура ферронематика с мягким гомеотропным сцеплением между директором и намагниченностью в однородном вращающемся магнитном поле с круговой поляризацией. Получена нестационарная система уравнений, описывающая динамику ориентационной структуры ферронематика, которая решена численно и в предельных случаях аналитически. Найдены ее стационарные и нестационарные решения.

Показано, что во вращающемся магнитном поле система уравнений, описывающая динамику ферронематика, имеет решения, соответствующие угловой ориентационной фазе ферронематика. Существовавшие в статическом случае пороговые переходы между фазами с гомеотропным, угловым и планарным типами сцепления магнитных частиц с матрицей «размываются». Обнаружены различные синхронные и асинхронные режимы вращения, характеризующие динамику ориентационной структуры. В синхронных режимах директор и намагниченность вращаются с частотой магнитного поля и постоянной фазовой задержкой. В асинхронных режимах намагниченность совершает периодические колебания около направления магнитного поля. Показано, что смена режимов вращения от синхронного к асинхронному может быть вызвана как изменением скорости вращения магнитного поля, так и изменением его напряженности. Найдена зависимость критической угловой скорости вращения поля, определяющей границу существования синхронного и асинхронного режимов вращения, от напряженности. Построена фазовая диаграмма синхрон-

ных и асинхронных режимов. Проведены численные расчеты углов поворота директора и вектора намагниченности для различных значений напряженности приложенного магнитного поля, энергии сцепления магнитных частиц с ЖК-матрицей и скорости вращения магнитного поля.

Полученные в работе результаты относятся к неограниченному образцу ферронематического ЖК. В реальных экспериментах поведение ориентационной структуры ЖК изучается в ограниченных геометриях. Наиболее близкой по постановке к рассмотренной нами задаче является краевая задача в геометрии кручения (7). Фактически в известных из физики ЖК [27, 28] или из физики магнитных жидкостей [24, 25] экспериментах рассматривается система, помещенная в цилиндрическую полость. Магнитное поле вращается в плоскости, перпендикулярной оси цилиндра, что отвечает кручению директора. Метод вращающегося поля [28], используемый для определения коэффициента вращательной вязкости  $\gamma_1$  ЖК в цилиндрической области, основан на приближении однородного распределения директора внутри образца. В этом случае система имеет достаточно большие размеры, чтобы можно было пренебречь краевыми эффектами.

Конечные размеры полости оказывают влияние на ориентационную динамику из-за сил поверхностного сцепления директора с границами [29, 30]. При жестком сцеплении ЖК с поверхностью силы ориентационной упругости не позволяют магнитному полю полностью ориентировать ЖК в пристеночной области, размер которой порядка магнитной длины когерентности  $\xi \propto 1/H$ . По мере уменьшения сцепления ЖК с границами полости размер этой области будет только уменьшаться.

При вращении магнитного поля сцепление ЖК с поверхностью может привести к пристеночным эффектам, таким как обратное течение и инверсионные стенки [27, 28]. Толщина пристеночной области неоднородности ориентационной структуры ЖК становится на порядок больше магнитной длины когерентности  $\xi$  [30], т. е. наличие дефектов и искажений структуры ЖК у стенок уменьшает размер однородной вращающейся области ЖК, которую можно расширить, увеличивая напряженность магнитного поля или размер ячейки ЖК. Диаметр цилиндрических трубок (около 10 мм) с образцами ЖК, используемых в экспериментах с вращающимся магнитным полем [30], значительно превосходит толщину пристеночной области  $\xi^*$ . Оценка для типичных нематиков в полях  $B \approx 0.1$  Тл дает величину

$\xi^* \approx 0.1$  мм. Таким образом, используемое нами приближение однородности ориентации директора справедливо вдали от стенок образца на расстояниях, много больших  $\xi^*$ .

При скоростях вращения, меньших  $\omega_c$ , экспериментальные результаты находятся в хорошем согласии с предсказаниями теории [29], однако если скорость вращения превосходит  $\omega_c$ , то могут существовать решения с неоднородным распределением директора.

В решенной нами задаче рассматриваются ориентационные эффекты, обусловленные конечной энергией сцепления между магнитной и ЖК-подсистемами ферронематика. Эти эффекты сохраняются и в краевых задачах для ферронематиков как статических [12, 16], так и динамических [21].

Работа выполнена при частичной поддержке РФФИ (грант № 13-02-96001).

## ЛИТЕРАТУРА

- Y. A. Garbovskiy and A. V. Glushchenko, Sol. St. Phys. **62**, 1 (2010).
- F. Brochard and P. G. de Gennes, J. de Phys. **31**, 691 (1970).
- E. Ouskova, O. Buluy, C. Blanc et al., Mol. Cryst. Liq. Cryst. **525**, 104 (2010).
- Z. Mitróová, N. Tomašovičová, M. Timko et al., New J. Chem. **35**, 1260 (2011).
- O. Buluy, S. Nepijko, V. Reshetnyak et al., Soft Matter **7**, 644 (2011).
- N. Podoliak, O. Buchnev, D. V. Bavykin et al., J. Colloid and Interface Sci. **386**, 158 (2012).
- N. Tomašovičová, M. Timko, Z. Mitróová et al., Phys. Rev. E **87**, 014501 (2013).
- S. V. Burylov and Y. L. Raikher, Mol. Cryst. Liq. Cryst. **258**, 107 (1995).
- S. V. Burylov and Y. L. Raikher, Mol. Cryst. Liq. Cryst. **258**, 123 (1995).
- A. N. Zakhlevnykh, J. Magn. Magn. Mater. **269**, 238 (2004).
- V. I. Zadorozhniy, T. J. Sluckin, V. Yu. Reshetnyak et al., SIAM J. Appl. Math. **68**, 1688 (2008).
- D. V. Makarov and A. N. Zakhlevnykh, Phys. Rev. E **81**, 051710 (2010).

13. A. N. Zakhlevnykh and O. R. Semenova, Mol. Cryst. Liq. Cryst. **540**, 219 (2011).
14. N. Podoliak, O. Buchnev, O. Buluy et al., Soft Matter **7**, 4742 (2011).
15. А. Н. Захлевных, О. Р. Семенова, ЖТФ **82**(2), 1 (2012).
16. D. V. Makarov and A. N. Zakhlevnykh, Soft Matter **8**, 6493 (2012).
17. J. C. Bacri and A. M. Figueiredo Neto, Phys. Rev. E **50**, 3860 (1994).
18. Y. L. Raikher and V. I. Stepanov, J. Intel. Mater. Syst. Struct. **7**, 550 (1996).
19. A. N. Zakhlevnykh and D. V. Makarov, Mol. Cryst. Liq. Cryst. **475**, 233 (2007).
20. D. V. Makarov and A. N. Zakhlevnykh, J. Magn. Magn. Mater. **320**, 1312 (2008).
21. A. N. Zakhlevnykh and D. V. Makarov, Mol. Cryst. Liq. Cryst. **540**, 135 (2011).
22. Yu. Garbovskiy, J. R. Baptist, J. Thompson et al., Appl. Phys. Lett. **101**, 181109 (2012).
23. I. W. Stewart, *The Static and Dynamic Continuum Theory of Liquid Crystals*, Taylor & Francis, London–New York (2004).
24. М. И. Шлиомис, УФН **112**, 427 (1974).
25. В. М. Зайцев, М. И. Шлиомис, ПМТФ **10**(5), 11 (1969).
26. G. Derfel, Mol. Cryst. Liq. Cryst. **92**, 41 (1983).
27. S. V. Pasechnik, V. G. Chigrinov, and D. V. Shmeliova, *Liquid Crystals*, Wiley-VCH, Weinheim (2009).
28. В. В. Беляев, *Вязкость нематических жидкостей кристаллов*, Физматлит, Москва (2002).
29. F. M. Leslie, G. R. Luckhurst, and H. J. Smith, Chem. Phys. Lett. **13**, 368 (1972).
30. H. Kneppe and F. Schneider, J. Phys. E **16**, 512 (1983).